



KATEDRA  
INFORMATIKY  
UNIVERZITA PALACKÉHO V OLMOUCI

# Reprezentace

## KMI/3DG

Mgr. Markéta Trnečková, Ph.D.

# Těleso

- **Vágní definice:** Spojitý útvar skládající se z bodů v prostoru. Body patřící tělesu – vnitřní a hraniční
- **Vnitřní bod**
- **Hraniční bod** – sousedí alespoň s 1 vnitřním, 1 hraničním a 1 vnějším bodem
- **Vnější bod**
- **Sousednost** – zatím nepotřebujeme definovat, stačí intuitivní chápání

## Příklad

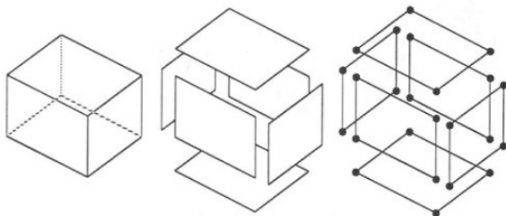
Jsou křivky tělesa? A co plochy?

# Geometrie tělesa

- Tělesa můžeme reprezentovat pomocí
  - **Povrchu** (hraniční reprezentace):
    - Přesná reprezentace
    - Aproximace tvaru
  - **Postupu vytváření** – CSG stromem
  - **Objemová reprezentace**

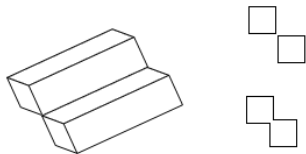
# Hraniční reprezentace

- Nejrozšířenější
- Těleso popsáno jen pomocí hranice (hraničních bodů) – boundary representation **B-rep**
- Hranice může být zadána:
  - Přesně – pomocí ploch, plátů, ...
  - Pomocí polygonů – aproximují tvar tělesa



# Hraniční reprezentace

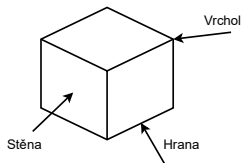
- Popis pomocí ploch umožňuje popsat objekt, který není tělesem (není možné ho v reálném světě vytvořit)
- Problémy:
  - nekonečně tenké hranice
  - části dotýkající se v jednom bodě, jedné úsečce a jiné
- Důležité pojmy:
  - **manifold** – každá hrana inciduje právě se 2 plochami, hrany neprotínají jiné plochy, osamocený vrchol nespojuje dvě části tělesa
  - **watertight** těleso – uzavřené těleso



Non-manifold

# Mnohostěn

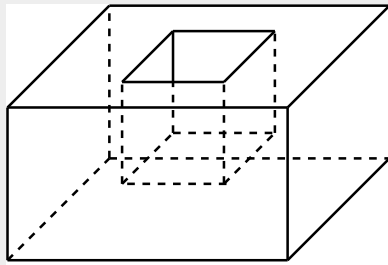
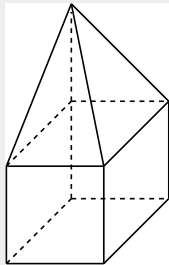
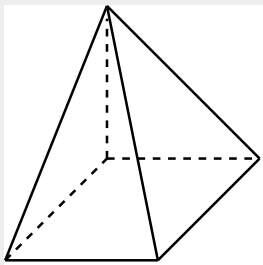
- Velká třída těles
- Stěny jsou tvořeny mnohoúhelníky
- Každou hranu sdílí sudý počet stěn (v případě 2-manifoldu právě 2)
- Splňuje další podmínky
- **Jednoduchý mnohostěn** – volnými deformacemi se dá převést na kouli (nemá díry)
- **Eulerova rovnost:**  $F + V = E + 2$
- $F$  = počet stěn,  $V$  = počet vrcholů,  $E$  = počet hran
- Pouze definice množin  $F$ ,  $E$ ,  $V$  nezaručuje, že se jedná o mnohostěn, hrany a stěny se nesmí dotýkat a každá hrana propojuje 2 vrcholy



# Mnohostěn

Příklad

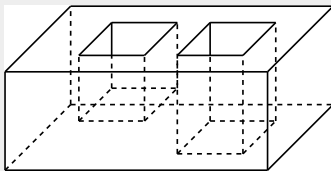
Jsou následující tělesa mnohostěny?



# Mnohostěn

## Příklad

Je následující těleso mnohostěn?





# Mnohostěn

- **Mnohostěn s dírami**

- **Zobecněná Eulerova rovnost:**

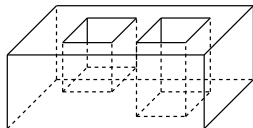
$$F + V = E + 2(C - H) + R$$

- $F$  = počet stěn,  $V$  = počet vrcholů,  $E$  = počet hran

- $C$  = počet komponent (samostatných oblastí)

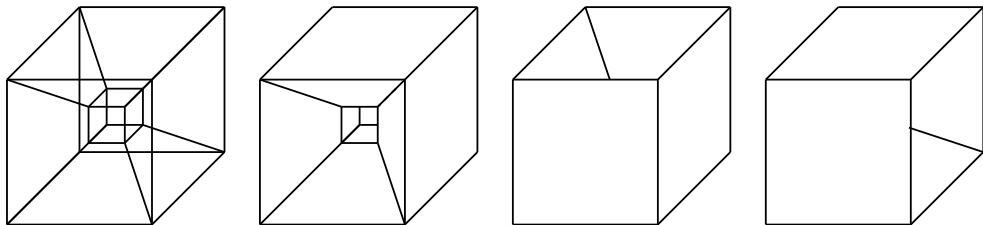
- $H$  = počet otvorů

- $R$  = počet vnitřních smyček (ve stěně)



## Hranová reprezentace

- Pouze hrany a vrcholy (drátové modely těles)
- 1 seznam vrcholů, 1 seznam hran (2 ukazatele do seznamu vrcholů)
- Nelze jednoznačně interpretovat
- Praktické použití – náhledy

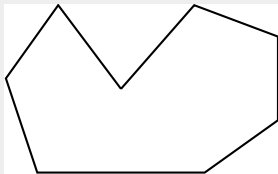


## Jednoduchá plošková

- Předchozí datová struktura rozšířená o plochy – obecné polygony (ukazatele do seznamu vrcholů)
- Z implementačního hlediska je lepší používat trojúhelníky
- **Proč?**
- Euler dokázal, že každý  $n$ -úhelník je možné triangulovat  $n - 2$  trojúhelníky

Příklad

Triangulujte:



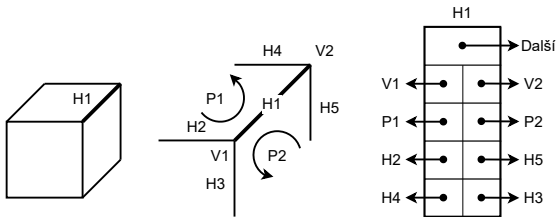
# Jednoduchá plošková

- Pořadí vrcholů se volí dle orientace stěny tělesa
- Pravidlo pravé ruky – normálový vektor ukazuje ven
- V této reprezentaci nemáme informaci, které stěny spolu sousedí



# Strukturovaná plošková reprezentace

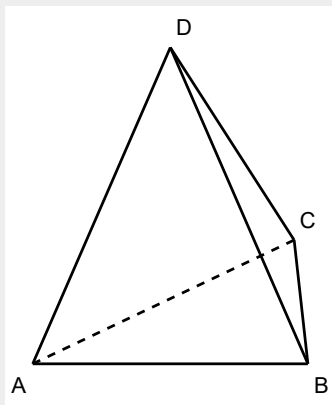
- **Okřídlená hrana** – struktura
- S každou hranou uchováváme i informaci o vrcholech, hranách a stěnách, které s ní sousedí (ukazatele)
- 3 seznamy – vrcholy (souřadnice), stěny (ukazatel na libovolnou hranu) a okřídlené hrany



# Strukturovaná plošková reprezentace

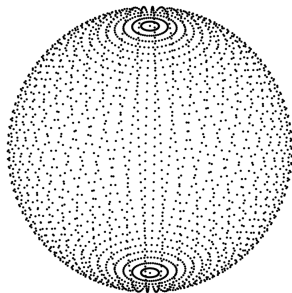
## Příklad

Pro čtyřstěn napište, jak by vypadala strukturovaná plošková reprezentace.



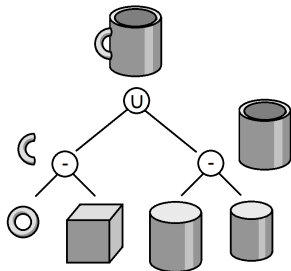
# Bodová reprezentace

- Zvláštní případ hraniční
- Povrch = množina povrchových bodů
- Např. pomocí 3D skeneru, nebo vypočítané
- Každý bod nese informaci o části povrchu + barva a jiné



# Konstruktivní geometrie

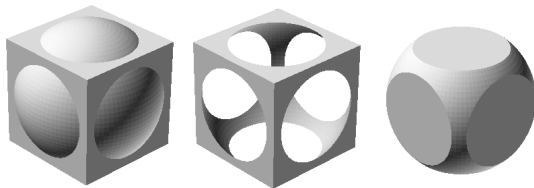
- **Constructive solid geometry** (CSG)
- Popisuje postup konstruktéra při navrhování tvaru tělesa (zejména v CAD)
- Těleso se reprezentuje **CSG stromem**
- Listy stromu = geometrická primitiva (kvádr, koule, ale i NURBS plochy a jiné)
- Ostatní uzly = transformace a množinové operace, které se aplikují na potomky
- Kořen stromu = výsledné těleso





# Konstruktivní geometrie

- **Transformace:** posunutí, otočení, změna měřítka ...
- **Operace:** sjednocení, rozdíl, průnik ...



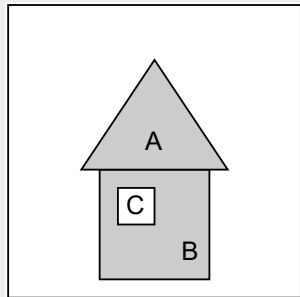
- Někdy se transformace provádí hned s primitivou a v uzlech jsou jen operace

## Konstruktivní geometrie

- Tato reprezentace není vhodná na zobrazování – neobsahuje zobrazitelné prvky (plochy)
- Metody: převod na hraniční reprezentaci, sledování paprsku, upravený algoritmus pro paměť hloubky
- Vyhodnocení CSG stromu (nalezení hraniční reprezentace kořene) je složitý proces

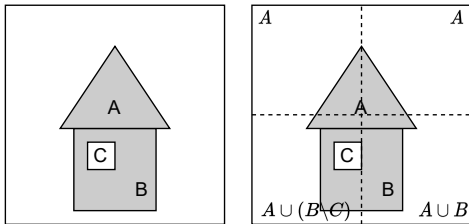
### Příklad

Jak by vypadal konstrukční strom pro následující obrázek?



## Konstruktivní geometrie

- Pokud zobrazujeme jen část prostoru, primitiva, která nejsou jeho součástí neovlivní zobrazený výsledek
- Není potřeba počítat výsledek pro celý strom, ale jen prořezaný strom



### Příklad

Jak vypadají prořezané stromy pro jednotlivé části v předchozím obrázku?

# Objemová reprezentace

- Nemáme geometrický popis tělesa, jen sadu vzorků v určitém objemu
- **Vzorek**: hodnotu (jas, barvu, hustotu, ...)
- Dělení objemových dat:
  - **Rozptýlená data** – každý vzorek má navíc souřadnice
  - **Pravidelné/nepravidelné mřížky**
- Např. CT – data v pravidelné pravouhlé mřížce
- Např. při simulaci proudění – nepravidelné mřížky
- Např. meteorologická měření – rozptýlená data

# Mřížky

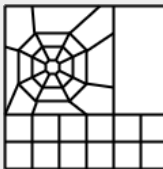
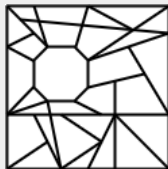
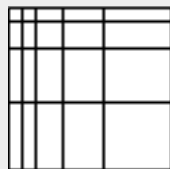
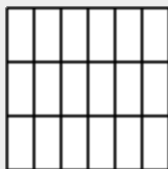
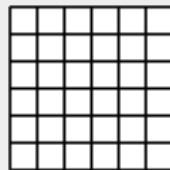
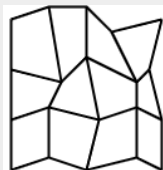
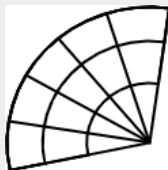
- Důležitý je tvar mřížky (doména)
- Pravidelné mřížky, pravidelné mřížky se zdeformovaným tvarem
- Nestrukturované musí mít uloženou topologii v dalším poli
- Každá buňka obsahuje odkazy na vrcholy
- Mřížka může mít libovolný počet vrcholů (dimenzionalita mřížky)

# Mřížky

## Příklad

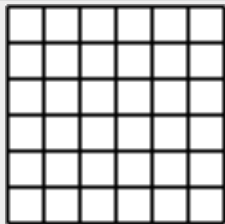
Přiřadte názvy mřížek k obrázkům.

- Kartézská
- Pravidelná
- Zakřivená pravidelná (curvy linear)
- Pravoúhlá
- Strukturovaná
- Nestrukturovaná
- Blokově strukturovaná
- Hybridní

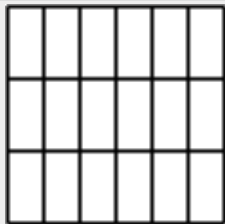


# Mřížky

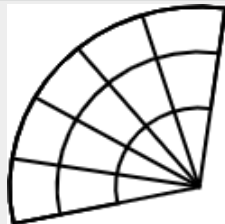
## Příklad (Řešení)



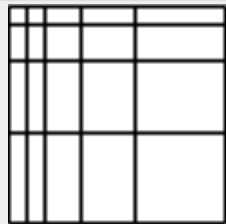
Kartézská



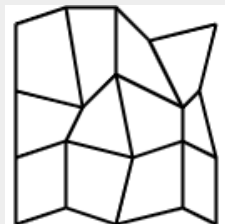
Pravidelná



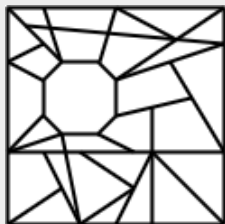
Zakřivená pravidelná



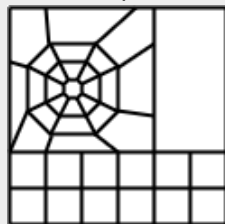
Pravoúhlá



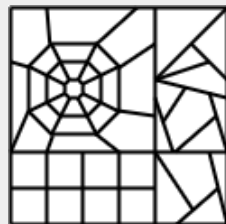
Strukturovaná



Nestrukturovaná



Blokově strukturovaná



Hybridní

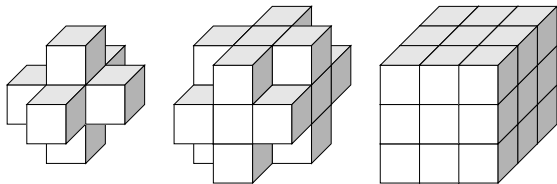
## 3D objekty v diskrétní mřížce

- Objemová data = velké paměťové nároky
- Jelikož jsou diskrétní, špatně se s nimi provádí transformace (otáčení o jiný než pravý úhel, změna velikosti)
- **Výhody:**
  - Snadná práce s daty – logické a blokové operace
  - Pracujeme s celým objemem najednou (bez ohledu na složitost scény)
  - Pro zobrazení stačí 1 algoritmus
- Dále se omezíme jen na skalární data v pravidelné prostorové mřížce

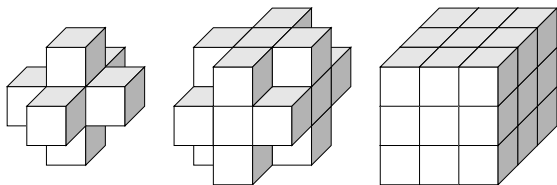


# Voxel

- Voxel = nejmenší element ve 3D diskretním prostoru – analogie pixelu (2D)
- Má tvar krychle (kvádru)
- Voxely jsou uspořádány v mřížce
- Voxel má v celém svém objemu konstantní hodnotu
- Je potřeba definovat sousednost (6-ti, 18-ti, 26-ti)



## Voxel – sousednost

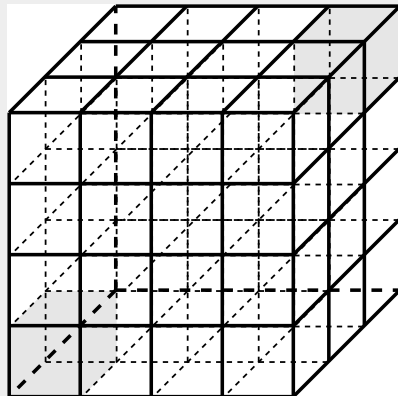


- Sousednost je důležitá pro hledání průsečíků, správné zobrazení (metoda sledování paprsku)
- Paprsek musí být 6-ti spojitý v případě 18-ti a 26-ti spojitých objektů (a naopak)
- Spojitost paprsku ovlivňuje jeho délku – čím je spojitost vyšší, tím je paprsek kratší (při výpočtu zpracováváme méně voxelů)

## Voxel – sousednost

### Příklad

Jaká je vzdálenost šedých voxelů pokud bereme v úvahu 6-ti, 18-ti a 26-ti spojitost?



# Objemová reprezentace

## ■ Zobrazení:

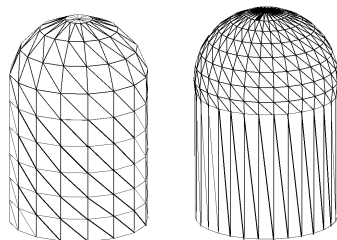
- Přímé zobrazení objemu
- Hledání povrchu – vytvoření hraniční reprezentace

# Trojúhelníky a síť trojúhelníků

- Proč trojúhelník?
- Vrcholy jsou vždy v rovině
- Je konvexní
- Existují rychlé algoritmy pro jejich vykreslení, ale i jiné operace
- **Síť trojúhelníků** (triangle mesh) - síť trojúhelníků, které sdílí své hrany
- 2 části:
  - **Geometrická část** – souřadnice vrcholů
  - **Topologická část** – informace o tom, které vrcholy tvoří trojúhelník (případně, které spolu sousedí)
- Toto rozdělení je výhodné – transformace se provádí jen nad vrcholy (nezávisle na topologii)
- Snaha o co nejušpornější reprezentaci, ale zároveň se s ní dobře pracovalo.

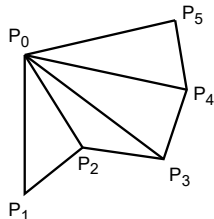
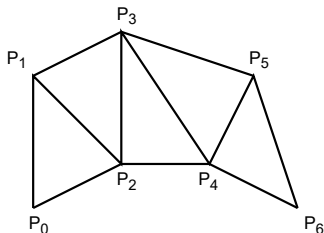
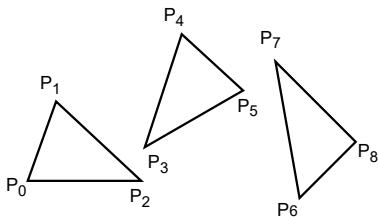
# Trojúhelníky a síť trojúhelníků

- Síť trojúhelníků většinou nepopisuje tvar přesně
- Při aproximaci povrchu trojúhelníky chceme, co nejpřesnější tvar a zároveň co nejmenší počet trojúhelníků



# Trojúhelníky a síť trojúhelníků

- Chceme provádět co nejméně operací s trojúhelníky (vrcholy)
- Trojúhelníky chceme mít v jedné struktuře
- **Struktury:**
  - Seznam trojúhelníků (triangle soup, triangle list)
  - Pás trojúhelníků – struktura je dána jen posloupností vrcholů; každý je zpracováván jen jednou; každý trojúhelník tvoří vrchol spolu se dvěma předchozími
  - Vějíř trojúhelníků – Vzniká např. při triangulaci mnohoúhelníku



# Trojúhelníky a síť trojúhelníků

- Hledání optimálního vyjádření není snadná ani jednoznačná úloha
- Není snadné mapování textur
- **Geometrický alias** – projevuje se při změně měřítka, při chybě zaokrouhlení – dotýkající se trojúhelníky se nedotýkají

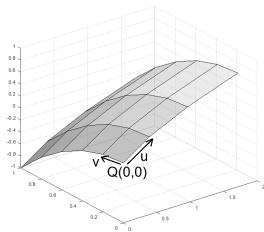


# Plochy

- Popis přesné hranice objektu
- **Je dobré si zopakovat** – křivky z POGR
  - Zadávání křivek – implicitní, explicitní, parametrické
  - Tečna, směrový vektor
  - Segment křivky, uzel
  - Spojitost uzlů – parametrická, geometrická
  - Modelování křivek – interpolační a aproximační křivky
  - Interpolační – Hermitovské
  - Aproximační – Beziérovy

# Parametrické plochy

- **Bodová rovnice plochy:**  
 $Q(u, v) = [x(u, v), y(u, v), z(u, v)]$
- $x(u, v), y(u, v), z(u, v)$  – funkce parametrů  $u$  a  $v$ ;  $u, v \in \langle 0, 1 \rangle$
- Obvykle polynomiální (výhodné vlastnosti při modelování a navazování)
- Bod  $Q$  o souřadnicích  $[x, y, z]$  v trojrozměrném kartézském prostoru má souřadnice  $[u, v]$  v parametrickém prostoru
- Používáme shodné matematické prostředky jako u polynomiálních parametrických křivek



# Parametrické plochy

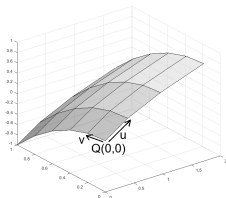
- **Tečný vektor:**  $\vec{q}_u(u, v)$ ,  $\vec{q}_v(u, v)$
- Tečné vektory k ploše  $Q(u, v)$  ve směru parametru

$$\vec{q}_u(u, v) = \frac{\partial(Q(u, v))}{\partial u} = \left( \frac{\partial x(u, v)}{\partial u}, \frac{\partial y(u, v)}{\partial u}, \frac{\partial z(u, v)}{\partial u} \right)$$

$$\vec{q}_v(u, v) = \frac{\partial(Q(u, v))}{\partial v} = \left( \frac{\partial x(u, v)}{\partial v}, \frac{\partial y(u, v)}{\partial v}, \frac{\partial z(u, v)}{\partial v} \right)$$

- **Parametrická rovnice tečné roviny:**

$$T(r, s) = Q(u, v) + r \cdot \vec{q}_u(u, v) + s \cdot \vec{q}_v(u, v); r, s \in \mathbb{R}$$



# Parametrické plochy

- **Plát** – část plochy, jako segment u křivek
- **Plátování** – spojení plátů
- Při navazování hrají roli **zkruty** (zkrutové vektory) charakterizující vyklenutí plochy v místech, kde se pláty napojují

$$\text{■ } \vec{q}_{uv}(u, v) = \frac{\partial^2(Q(u, v))}{\partial u \partial v} = \left( \frac{\partial^2 x(u, v)}{\partial u \partial v}, \frac{\partial^2 y(u, v)}{\partial u \partial v}, \frac{\partial^2 z(u, v)}{\partial u \partial v} \right)$$

$$\text{■ Normála v bodě: } \vec{n}(u, v) = \frac{\vec{q}_u(u, v) \times \vec{q}_v(u, v)}{\|\vec{q}_u(u, v) \times \vec{q}_v(u, v)\|}$$

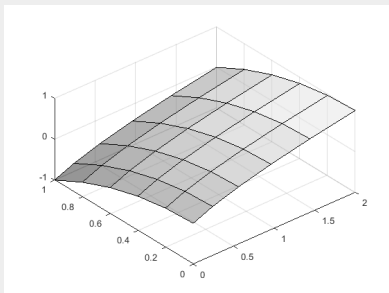
# Parametrické plochy

## Pojmy

- **Hlavní křivka plochy ve směru  $u$**  – každá křivka určená  $Q(u, k)$  pevného parametru  $k$
- **Hlavní křivka plochy ve směru  $v$**  – analogicky
- **Rohy** – body  $Q(0, 0)$ ,  $Q(0, 1)$ ,  $Q(1, 0)$ ,  $Q(1, 1)$
- **Strany** – hlavní křivky ve směru  $u$  s parametrem  $v = 0$  nebo  $v = 1$  a hlavní křivky ve směru  $v$  s parametrem  $u = 0$  a  $u = 1$
- **Okraj** – všechny strany plochy

## Příklad

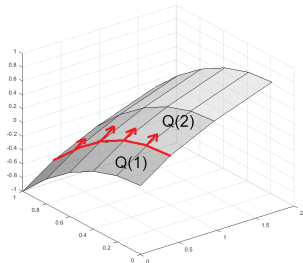
Zakreslete pojmy do obrázku.



# Parametrické plochy

## Plátování

- **Plátování** – napojení více plátů
- **Spojitosť:**
  - Parametrická –  $C^i$
  - Geometrická –  $G^i$
- $C^0$  ( $G^0$ ) = pláty mají společnou stranu, která je křivkou třídy alespoň  $C^0$  ( $G^0$ )
- $C^1$  = pláty mají společnou stranu a shodné příčné parciální derivace ve všech bodech společné strany obou plátů ( $Q(1)$  a  $Q(2)$ )
- $G^1$  = pláty mají společnou stranu, která je alespoň  $G^1$  křivkou a příčné parciální derivace ve všech bodech společné strany obou plátů ( $Q(1)$  a  $Q(2)$ ) jsou lineárně závislé (s kladným koeficientem, který se spojitě mění podél společné stěny)



# Zadávání ploch

- Řídícími body a bázovými funkcemi
- **Interpolační plochy**
  - Interpolace ve vyšších dimenzích než 2 je složitá
  - Ve 3D se používá interpolace ploškami – většinou trojúhelníky (**Surface fitting**)
- **Aproximační plochy**
  - Řídící body určují tvar, ale nemusí jimi plocha procházet
  - Složitější napojování – nutno znát tečné podmínky na stranách ploch
- Bázové funkce ploch jsou většinou polynomy, ne nutně stejného stupně v obou směrech
- Pro pojmenování se používá stupeň polynomu – např. bikubická plocha, kvadraticko-lineární plocha
- Nejčastěji se používají polynomy stupně 3 – Polynomy menšího stupně nelze určit tak, aby měl při procházení 2 body vhodné vlastnosti tečen
- Kubika je nejmenší stupeň, který umožňuje  $C^1$  a  $C^2$  spojitost
- Vyšší stupně = složitější výpočty

# Vlastnosti ploch

- Invariance k lineárním transformacím – při aplikaci transformace na řídicí body a následné vykreslení plochy dá stejný výsledek, jako aplikace transformace na plochu po jejím vykreslení
- Konvexní obálka
  - Silná – plocha leží v konvexní obálce všech svých řídicích bodů
  - Slabá – část plochy (plát) leží v konvexní obálce některých svých řídicích bodů (plát leží v konvexní obálce svých řídicích bodů)
- Lokalita změn – změnou polohy řídicího bodu se mění jen část plochy, nikoli plocha celá
- Plocha může procházet krajními body sítě řídicích bodů



# Interpolační plochy

- Obtížná úloha
- Mějme  $(m + 1) \times (n + 1)$  řídících bodů  $P_{ij}$
- Interpolační plocha:  $P(u, v)$
- Existuje řešení rovnic:  
$$P(u, v) = P_{ij} \text{ pro } \forall i, j$$
- Tedy prochází body, kterými je zadaná
- Při interpolaci polynomy:  $P(u, v) = \sum_{i=0}^m \sum_{j=0}^n b_{ij} u^i v^j$
- Maticově:  
$$P(u, v) = U \cdot B \cdot V^T$$
  
kde  $u = [u^m, u^{m-1}, \dots, u, 1]$  a  $v = [v^n, v^{n-1}, \dots, v, 1]$
- Což je  $(m + 1) \cdot (n + 1)$  rovnic o stejném počtu neznámých

## Příklad

Kolik bodů potřebujeme pro jednoznačné zadání bikubické interpolační plochy?

# Interpolační plochy

## Příklad

Vypočítejte rovnici bilineární plochy, která interpoluje body  $P_{i,j}$  zadané následující tabulkou.

		v	
		0	1
u	0	1	2
	1	2	1

# Aproximační plochy

- Plochy jsou zadány body, případně tečnými vektory nebo zkruty a polynomy modelujícími plochy
- Pro zjednodušení si zavedeme následující značení:
  - $\cdot$  bod
  - $\rightarrow, \uparrow$  tečné vektory (v jednotlivých osách)
  - $\nearrow, \nwarrow, \searrow, \swarrow$  zkruty

# Hermitovské plochy

- Zadány rohy (body) a tečnými vektory v nich (případně ještě zkruty)
- Tvar je řízen Hermitovskými polynomy třetího stupně
- **Definice Hermitovského polynomu:**

$$F_1(t) = 2t^3 - 3t^2 + 1$$

$$F_2(t) = -2t^3 + 3t^2$$

$$F_3(t) = t^3 - 2t^2 + t$$

$$F_4(t) = t^3 - t^2$$

## Dvanáctivektorové plochy

- 4 body ( $P_{00}$ ,  $P_{01}$ ,  $P_{10}$  a  $P_{11}$ )
- Tečnými vektory v nich v obou směrech ( $\vec{\rho}_u(0,0)$ ,  $\vec{\rho}_v(0,0)$ ,  $\dots$ ,  $\vec{\rho}_u(1,1)$ ,  $\vec{\rho}_v(1,1)$ )

- **Definice:**

$$Q(t) = [F_3(u), F_1(u), F_2(u), F_4(u)] \cdot M \cdot [F_3(v), F_1(v), F_2(v), F_4(v)]^T$$

- $F_i$  Hermitovské polynomy

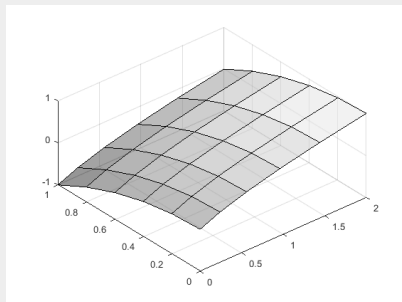
- $M$  mapa plochy

$$\begin{bmatrix} \uparrow & \uparrow \\ \rightarrow & \cdot & \cdot & \rightarrow \\ \rightarrow & \cdot & \cdot & \rightarrow \\ \uparrow & \uparrow \end{bmatrix} \begin{bmatrix} 0 & \vec{\rho}_u(0,0) & \vec{\rho}_u(0,1) & 0 \\ \vec{\rho}_v(0,0) & P_{00} & P_{01} & \vec{\rho}_v(0,1) \\ \vec{\rho}_v(1,0) & P_{10} & P_{11} & \vec{\rho}_v(1,1) \\ 0 & \vec{\rho}_u(1,0) & \vec{\rho}_u(1,1) & 0 \end{bmatrix}$$

# Dvanáctivektorové plochy

## Příklad

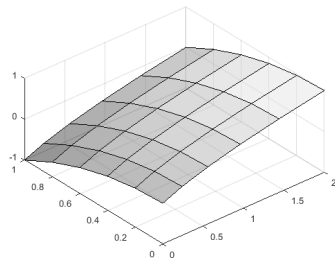
Zakreslete do obrázku body  $P_{00}$ ,  $P_{01}$ ,  $P_{10}$  a  $P_{11}$  a vektory  $\vec{p}_u(0,0)$ ,  $\vec{p}_v(0,0)$ ,  $\dots$ ,  $\vec{p}_u(1,1)$ ,  $\vec{p}_v(1,1)$



# Dvanáctivektorové plochy

## Napojení

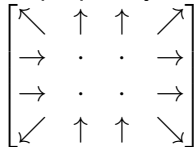
- Krajní body leží na ploše
- Pokud se krajní body rovnají –  $C^0$
- Pokud se rovnají tečné vektory –  $C^1$  (sloupce 1 a 4 případně řádky 1 a 4)



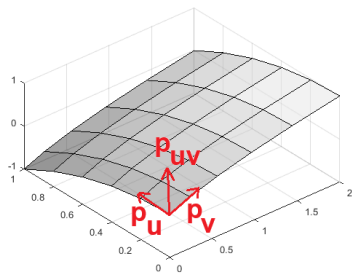
# Šestnáctivektorové plochy

- Ve 12ti vektorové matici nahradíme 0 zkruty  $\vec{p}_{uv}(0,0)$ ,  $\vec{p}_{uv}(0,1)$ ,  $\vec{p}_{uv}(1,0)$ ,  $\vec{p}_{uv}(1,1)$

- Mapa plochy



- Zkruty řídí vyklenutí rohu v plátu
- Navazování plátů stejné jako u 12ti vektorové
- Díky zkrutům je možné zajistit i  $G^1$  mezi 4 pláty dotýkajících se v rozích





## Plochy spojující dvě křivky

- Úkolem je vytvořit plochu tak, aby spojovala jiné plochy
- Propojit jejich strany (strany ploch = křivky)
- Přímková plocha, kubická plocha

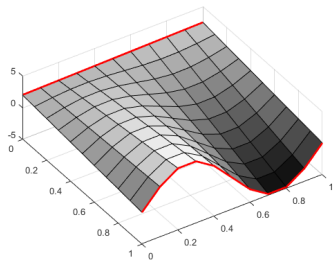
# Přímková plocha

- Plochy spojuje přímkami
- Hledaná plocha je zadána dvěma okrajovými křivkami –  $P(0, v)$  a  $P(1, v)$ ,  $v \in \langle 0, 1 \rangle$  (případně  $P(u, 0)$  a  $P(u, 1)$ ,  $u \in \langle 0, 1 \rangle$ )
- Rovnice plochy spojující křivky ( $u \in \langle 0, 1 \rangle$ ):  
 $Q(u, v) = (1 - u) \cdot P(0, v) + u \cdot P(1, v)$
- Snadno ověříme, že plocha spojuje okrajové křivky (Jak?)
- Jiný zápis

$$Q(u, v) = [1 - u, u] \cdot \begin{bmatrix} P(0, v) \\ P(1, v) \end{bmatrix}$$

- Mapa plochy:

$$\begin{bmatrix} \cdot \\ \cdot \end{bmatrix}$$



# Kubická plocha

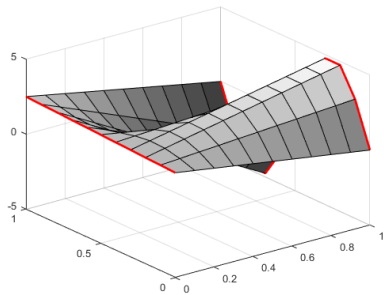
- Hledaná plocha je zadána:
  - Dvěma okrajovými křivkami –  $P(0, v)$  a  $P(1, v)$ ,  $v \in \langle 0, 1 \rangle$
  - Dvěma funkcemi pro tečné vektory podél okrajových křivek  $\vec{p}_u(0, v)$  a  $\vec{p}_u(1, v)$ ,  $v \in \langle 0, 1 \rangle$
- Vektory můžeme převzít z ploch, které touto plochou spojujeme – tím zajistíme spojitost  $C^1$
- Rovnice plochy:
$$Q(u, v) = F1(u) \cdot P(0, v) + F2(u) \cdot P(1, v) + F3(u) \cdot \vec{p}_u(0, v) + F4(u) \cdot \vec{p}_u(1, v)$$
- $F1, F2, F3, F4 =$  Hermitovské polynomy 3. stupně (viz slide 43)

## Příklad

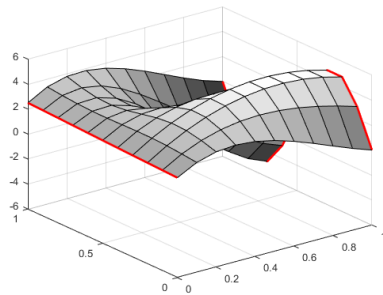
Jak vypadá maticový zápis plochy?

Jak vypadá mapa plochy?

# Kubická plocha



Přímková plocha



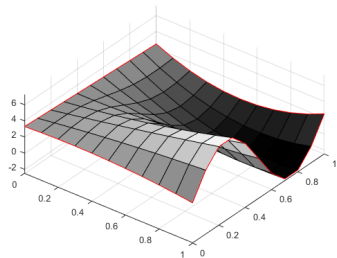
Kubická plocha

# Plochy zadané okrajem

- Hledáme plochy, které jsou zadány 4 stranami (celým okrajem)
- Plochy:
  - Bilineární Coonsova plocha
  - Bikubická plocha
  - Obecná bikubická plocha (Coonsova)

## Bilineární Coonsova plocha

- Hledaná plocha je zadána 4 okrajovými křivkami –  $P(u, 0)$ ,  $P(u, 1)$ ,  $P(0, v)$  a  $P(1, v)$ ,  $u, v \in \langle 0, 1 \rangle$
- Křivky musí tvořit uzavřený okraj (Co musí platit?)
- Rovnice plochy spojující křivky (implicitní zadání):  
$$[1 - u, -1, u] \cdot C \cdot [1 - v, -1, v]^T = 0$$
$$C = \begin{bmatrix} P_{00} & P(0, v) & P_{01} \\ P(u, 0) & Q(u, v) & P(u, 1) \\ P_{10} & P(1, v) & P_{11} \end{bmatrix}$$
- Implicitní zadání není vhodné pro generování ploch



### Příklad

Jak vypadá rovnice bilineární Coonsovy plochy?

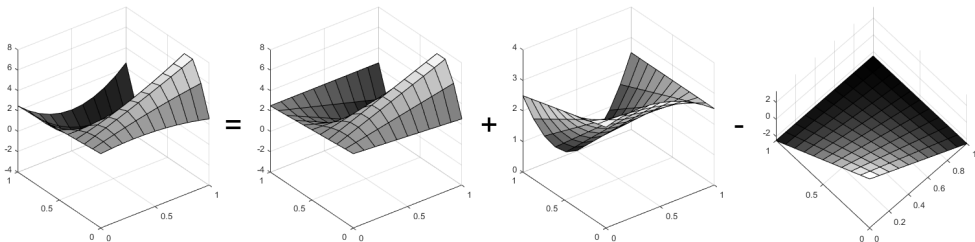
# Bilineární Coonsova plocha

## Příklad

Jak vypadá rovnice bilineární Coonsovy plochy?

■ Řešení:

$$Q(u, v) = [1-u, u] \cdot \begin{bmatrix} P(0, v) \\ P(1, v) \end{bmatrix} + [P(u, 0), P(u, 1)] \cdot \begin{bmatrix} 1-v \\ v \end{bmatrix} - [1-u, u] \cdot \begin{bmatrix} P_{00} & P_{01} \\ P_{10} & P_{11} \end{bmatrix} \cdot \begin{bmatrix} 1-v \\ v \end{bmatrix}$$



## Bikubická plocha

- Hledaná plocha je zadána 4 okrajovými křivkami –  $P(u, 0)$ ,  $P(u, 1)$ ,  $P(0, v)$  a  $P(1, v)$ ,  $u, v \in \langle 0, 1 \rangle$
- Křivky musí tvořit uzavřený okraj (Co musí platit?)
- Rovnice plochy spojující křivky (implicitní zadání):

$$[F1(u), -1, F2(u)] \cdot C \cdot [F1(v), -1, F2(v)]^T = 0$$

$$C = \begin{bmatrix} P_{00} & P(0, v) & P_{01} \\ P(u, 0) & Q(u, v) & P(u, 1) \\ P_{10} & P(1, v) & P_{11} \end{bmatrix}$$

- $F1$  a  $F2$  Hermitovské polynomy (viz slide 43)
- Porovnejte s Bilineární Coonsovou plochou
- Explicitní vyjádření:

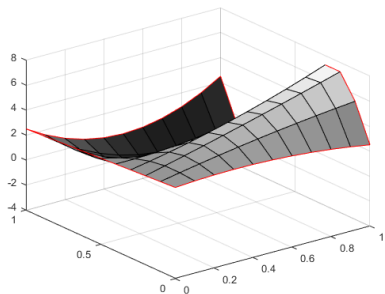
$$Q(u, v) = [F1(u), F2(u)] \cdot \begin{bmatrix} P(0, v) \\ P(1, v) \end{bmatrix} + [P(u, 0), P(u, 1)] \cdot \begin{bmatrix} F1(v) \\ F2(v) \end{bmatrix} - [F1(u), F2(u)] \cdot$$

$$\begin{bmatrix} P_{00} & P_{01} \\ P_{10} & P_{11} \end{bmatrix} \cdot \begin{bmatrix} F1(v) \\ F2(v) \end{bmatrix}$$

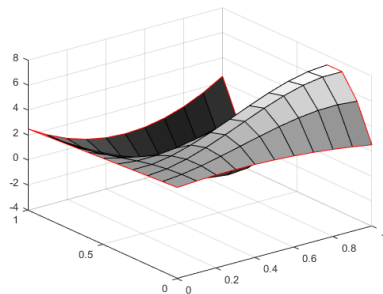


# Bikubická plocha

- Nepoužívá se pro plátování – těžko se zachovává spojitost  $C^1$  i  $G^1$  (Proč?)



Bilineární Coonsova plocha



Bikubická plocha

# Obecná bikubická plocha – Coonsova

- Je možné zajistit  $C^1$  spojitost
- Je nutné zadat tečné vektory u okraje
- Je určena:
  - Okrajovými křivkami –  $P(u, 0)$ ,  $P(u, 1)$ ,  $P(0, v)$  a  $P(1, v)$ ,  $u, v \in \langle 0, 1 \rangle$
  - Funkcemi pro tečné vektory podél okrajových křivek –  $\vec{p}_u(0, v)$ ,  $\vec{p}_u(1, v)$ ,  $\vec{p}_v(u, 0)$  a  $\vec{p}_v(u, 1)$ ,  $u, v \in \langle 0, 1 \rangle$
  - Zkruty v rozích –  $\vec{p}_{uv}(0, 0)$ ,  $\vec{p}_{uv}(0, 1)$ ,  $\vec{p}_{uv}(1, 0)$ ,  $\vec{p}_{uv}(1, 1)$
- Jsou potřeba:
  - Rohové body  $P_{00}$ ,  $P_{10}$ ,  $P_{01}$  a  $P_{11}$
  - Hodnoty tečných příčných vektorů v bodech okraje  $P_{0v}$ ,  $P_{1v}$ ,  $P_{u1}$  a  $P_{u1}$   
Získáme je dosazením  $u = 0$ ,  $u = 1$ ,  $v = 0$  a  $v = 1$  do  $\vec{p}_v(u, 0)$ ,  $\vec{p}_v(u, 1)$ ,  $\vec{p}_u(0, v)$  a  $\vec{p}_u(1, v)$
  - Plocha prochází okrajem
  - Má hladká napojení díky zkrutům a tečným vektorům

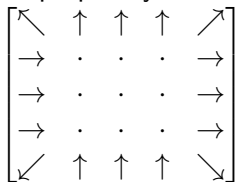
## Obecná bikubická plocha – Coonsova

- $[F3(u), F1(u), F2(u), F4(u)] \cdot C \cdot [F3(v), F1(v), F2(v), F4(v)]^T = 0$

- $F1, F2, F3$  a  $F4$  Hermitovské polynomy (viz slide 43)

- $$C = \begin{bmatrix} \vec{\rho}_{uv}(0,0) & \vec{\rho}_u(0,0) & \vec{\rho}_u(0,v) & \vec{\rho}_u(0,1) & \vec{\rho}_{uv}(0,1) \\ \vec{\rho}_v(0,0) & P_{00} & P_{0v} & P_{01} & \vec{\rho}_v(0,1) \\ \vec{\rho}_v(u,0) & P_{u0} & Q(u,v) & P_{u1} & \vec{\rho}_v(u,1) \\ \vec{\rho}_v(1,0) & P_{10} & P_{1v} & P_{11} & \vec{\rho}_v(1,1) \\ \vec{\rho}_{uv}(1,0) & \vec{\rho}_u(1,0) & \vec{\rho}_u(1,v) & \vec{\rho}_u(1,1) & \vec{\rho}_{uv}(1,1) \end{bmatrix}$$

- Mapa plochy



## Beziérové plochy

- Zobecnění Beziérových křivek (jsou speciálním případem Beziérových ploch)
- Operace nad nimi jsou snadné (tyto plochy se snadno modelují i renderují)
- V současné době jsou spíše nahrazeny NURBS plochami
- Beziérová plocha  $n \times m$  téhož stupně je určena  $(n + 1) \cdot (m + 1)$  body  $P_{ij}$  a vztahem
- $B_i^k$  jsou bazové funkce – Bernsteinovy polynomy  $k$ -tého stupně

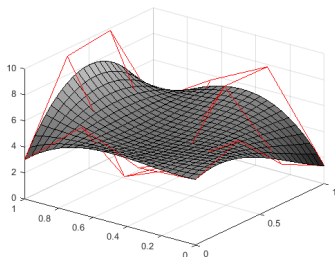
$$Q(u, v) = \sum_{i=0}^n \sum_{j=0}^m P_{ij} \cdot B_i^n(u) B_j^m(v)$$
$$B_i^k(t) = \binom{k}{i} t^i (1 - t)^{k-i}$$

### Příklad

Jak vypadají Bernsteinovy polynomy 3. stupně?

# Beziérové plochy

- Dosadíme-li za  $u$  a  $v$  0 respektive 1 zjistíme, že okraje jsou Beziérové křivky
- Rohy plochy jsou totožné s body  $P_{00}$ ,  $P_{01}$ ,  $P_{10}$  a  $P_{11}$  řídicí sítě
- **Tečný vektor** v rohu  $Q(0,0)$ :  
$$\vec{q}_u = n \cdot (P_{10} - P_{00})$$
$$\vec{q}_v = m \cdot (P_{01} - P_{00})$$
(dosazením  $u = 0$  a  $v = 0$  do derivace)
- **Normála v bodě**  $Q(u, v)$  – vektorový součin tečných vektorů v tomto bodě



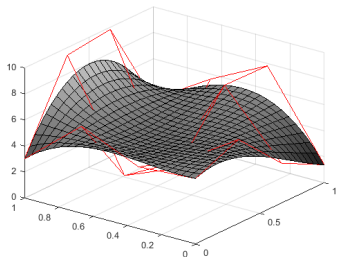
# Beziérové plochy

## Vlastnosti

- Bernsteinovy polynomy jsou nezáporné a jejich součet je roven 1  $\rightarrow$  plocha leží v konvexní obálce svých řídicích bodů
- Při změně jednoho bodu (jeho polohy), změní celý svůj tvar

### Příklad

Viz matlab.



# Beziérový plochy

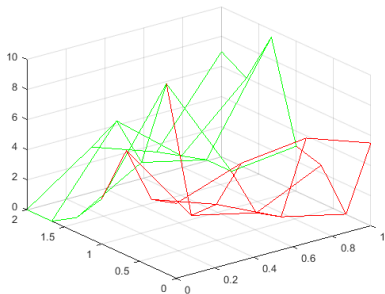
## Navazování

- Pláty  $Q(1)$ ,  $Q(2)$
- Řídící body  $Q(1)$ :  $P_{ij}^{(1)}$ ,  $i = 0, \dots, s$ ,  $j = 0, \dots, m$
- Řídící body  $Q(2)$ :  $P_{ij}^{(2)}$ ,  $i = 0, \dots, t$ ,  $j = 0, \dots, m$
- Počet bodů je ve směru  $v$  shodný (navazujeme ve směru  $u$ )
- Požadujeme, aby jejich stupeň byl v tomto směru alespoň 3 ( $s, t \leq 3$ )

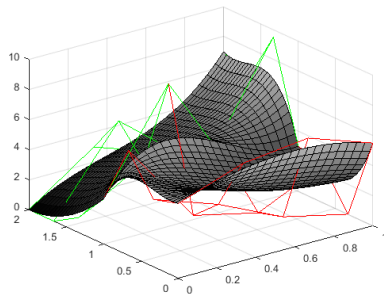
# Beziérové plochy

## Navazování

- $C^0$  spojitě navázány ve směru  $u =$  mají stejné řídicí body podél společné strany  
 $P_{sj}^{(1)} = P_{0j}^{(2)}, \forall j$
- Vzniká ostrá hrana



Řídící polynom



Navázání



# Beziérové plochy

## Navazování

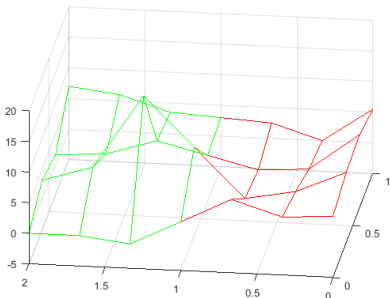
■  $C^1$  spojitosti dosáhneme:

- Body na společné straně jsou shodné

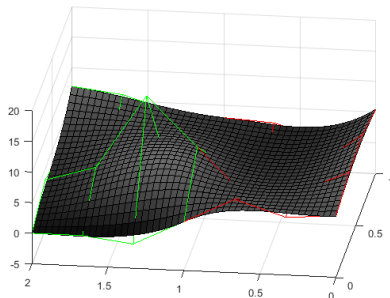
$$P_{sj}^{(1)} = P_{0j}^{(2)}, \forall j$$

- Jsou shodné tečné vektory ve směru  $u$  podél této strany

$$s \cdot (P_{sj}^{(1)} - P_{s-1j}^{(1)}) = t \cdot (P_{1j}^{(2)} - P_{0j}^{(2)})$$



Řídící polynom



Navázání

# Beziérové plochy

## Navazování

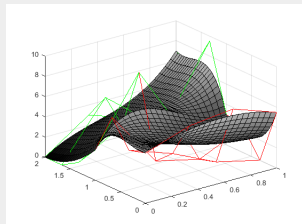
### Příklad

V následujících tabulkách máme řídicí body dvou Beziérových plátů. Upravte řídicí body druhého plátu tak, aby na sebe navazovali se spojitostí  $C^1$ .

$j \backslash i$	0	1	2	3	$j \backslash i$	0	1	2	3
0	5.0	4.5	7.0	3.0	0	3.0	1.0	0.0	0.0
1	6.5	3.0	1.5	9.5	1	9.5	3.5	5.5	3.0
2	7.0	1.0	0.5	2.5	2	2.5	2.5	2.0	1.5
3	5.5	0.0	2.5	3.0	3	3.0	9.5	6.0	7.0

$P(1)$

$P(2)$



# Beziérové plochy

## Navazování

- $G^1$  spojitosti dosáhneme:
  - Body na společné straně jsou shodné
$$P_{sj}^{(1)} = P_{0j}^{(2)}, \forall j$$
  - Tečné vektory ve směru  $u$  podél této strany nemusí být shodné, ale stačí lineárně závislé
$$s \cdot (P_{sj}^{(1)} - P_{s-1j}^{(1)}) = t \cdot (P_{1j}^{(2)} - P_{0j}^{(2)})$$
- Hladké navazování je svazující podmínka – změna polohy bodu jednoho řídicího polygonu ovlivňuje polohu bodů v řídicím polygonu sousedního plátu
- V případě roku, dokonce 3 plátů (tedy celkem 9 bodů)

## B-spline plochy

- Snadno se navazují – B-spline plochy  $n$ -tého stupně zaručují  $C^{n-1}$  spojitost
- Není potřeba omezovat podmínkami řídicí body sousedních plátů
- Změnou 1 řídicího bodu měníme tvar pouze části B-spline plochy
- Navazování – každý plát se definuje  $m \times (n - 1)$  řídicími body předchozího plátu a přidáním  $m$  bodů
- **Vlastnosti:**
  - Celá plocha leží v konvexní obálce řídicích bodů
  - Při změně polohy bodu se změní jen pláty, které jsou tímto bodem definovány
  - Obecně plocha neprochází krajními body řídicí sítě
  - Aby plocha procházela krajními body, použijeme tyto body několikanásobně
  - Jsou invariantní k lineárním transformacím (posun, otočení, změna měřítka, ...)
- B-spline křivka  $k$ -tého stupně popsána  $n + 1$  body se skládá z  $n - k + 1$  Beziérových křivek

# Bikubický B-spline

- Racionální, uniformní ( $\Delta u$  a  $\Delta v$  vždy stejné)
- Jsou  $C^2$  spojité
- Nejsou invariantní k perspektivnímu promítání

- **Rovnice:**

$$Q(u, v) = \sum_{i=0}^3 \sum_{j=0}^3 P_{i,j} \cdot B_i(u) \cdot B_j(v)$$

- $B_i$  bázové polynomy:

$$B_0(t) = (-t^3 + 3t^2 - 3t + 1)/6$$

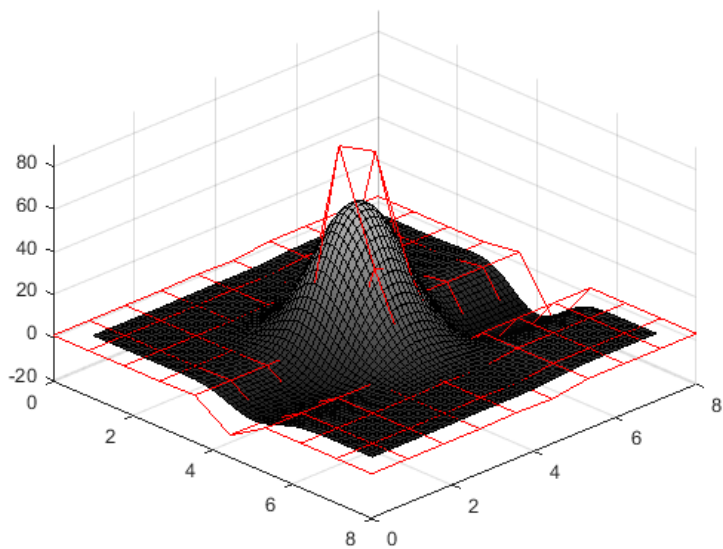
$$B_1(t) = (3t^3 - 6t^2 + 4)/6$$

$$B_2(t) = (-3t^3 + 3t^2 + 3t + 1)/6$$

$$B_3(t) = t^3/6$$

- U kubických ploch je každý krajní bod zadán  $4 \times$  – tím zajistíme, že prochází těmito body
- Body pak rozdělíme na pláty a postupně je napojujeme

## Bikubický B-spline



# NURBS

- Non-uniform rational B-spline
- Zobecnění – krok v jednotlivých směrech je neuniformní

- **Rovnice:**

$$Q(u, v) = \frac{\sum_{i=0}^n \sum_{j=0}^m w_{ij} \cdot P_{i,j} \cdot N_{ip}(u) \cdot N_{jq}(v)}{\sum_{i=0}^n \sum_{j=0}^m w_{ij} \cdot N_{ip}(u) \cdot N_{jq}(v)}$$

- $w_{ij}$  váhy bodů  $P_{ij}$  (pokud je roven 0 bod nemá žádnou váhu,  $\infty$  plocha bodem prochází)  
 $m, n$  udávají počet řídicích bodů  
 $p, q$  stupně polynomů

$N_{ip}(u), N_{jq}(v)$  normalizované B-spline bázové funkce určené vztahem

$$N_{i1}(t) = \begin{cases} 1 & \text{pro } t_i \leq t \leq t_{i+1} \\ 0 & \text{jinak} \end{cases}$$

$$N_{ik1}(t) = \frac{t-t_i}{t_{i+k}-t_i} \cdot N_{ik-1}(t) + \frac{t_{i+k}-t}{t_{i+k}-t_{i+1}} \cdot N_{i+1k-1}(t) \text{ pro } 0 \leq i \leq n$$

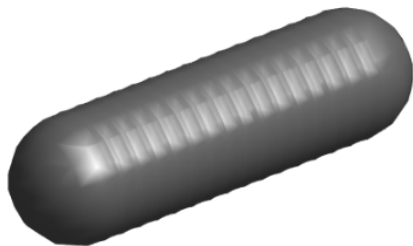
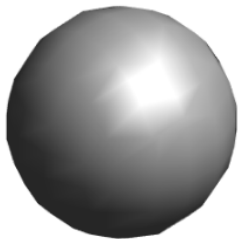
- Pro členy, kde se jmenovatel rovná 0 položíme celý zlomek roven 0
- Jsou invariantní k lineárním transformacím i k perspektivnímu promítání

# Implicitní plochy

- Množina bodů  $P$  v prostoru, pro které platí  $Q(P) = \textit{konstanta}$
- Např.  $Q(P) = x^2 + y^2 + z^2 = r^2$  – koule
- Základem je tzv. **kostra** – skládá se z generátorů prvků kostry
- Pro všechny body  $P$  v dosahu generátoru je funkce  $d = d(P)$ , která určuje vzdálenost bodu  $P$  od generátoru
- Pro každý generátor je definována **potenciálová funkce**  $F(d)$ , která určuje vliv generátoru na místa, která jsou ve shodné vzdálenosti
- Myšlenka: používáme jednoduché prvky (body, úsečky, polygony a jiné), vyhodnotíme jejich potenciálové funkce a plocha vznikne kombinací příspěvků od generátorů
- Příklad potenciálové funkce:  $F_a(d) = (1 - \frac{d^2}{R^2})^2$  ( $d$  vzdálenost bodu od generátoru)
- Potenciálová funkce závisí pouze na vzdálenosti od generátoru – kostra určuje tvar
- Koule – 1 generátor (bod)



## Implicitní plochy



# Převod ploch na síť trojúhelníků

## Naivní metoda

- Zvolíme pevný krok  $\Delta u$  a  $\Delta v$  a postupně dosazujeme do polynomů
- Získáme čtyřúhelníky a ty můžeme dále rozdělit na 2 trojúhelníky
- Normálové vektory získáme snadno – pomocí vektorového součinu
- Nerespektujeme zakřivení plochy  $\rightarrow$  v místech, kde se křivka hodně mění je lepší hustší síť

# Převod ploch na síť trojúhelníků

## Patch splitting

- Rekurzivní dělení plátu – **Patch splitting**
- Založené na algoritmu de Casteljau (znáte z POGR)
- **Vstup**: matice řídících bodů  $P$

## Algoritmus

- 1 Je-li odchylka od roviny dostatečně malá, rozděl čtyřúhelník na 2 trojúhelníky a skonči.
- 2 Rozděl matici  $P$  ve směru  $u$  (2 matice  $P_L$  a  $P_R$ )
- 3 Rozděl matici  $P_L$  ve směru  $v$  (2 matice  $P_{LT}$  a  $P_{LB}$ )
- 4 Rozděl matici  $P_R$  ve směru  $v$  (2 matice  $P_{RT}$  a  $P_{RB}$ )
- 5 Spuště algoritmus s pláty  $P_{LT}$ ,  $P_{LB}$ ,  $P_{RT}$  a  $P_{RB}$

# Převod ploch na síť trojúhelníků

## Patch splitting

- Pro dělení na dvě části použijeme algoritmus de Casteljau pro dělení křivky v bodě  $t = 1/2$  – tzn. rozdělíme křivky určené řídicími body v jednotlivých řádcích matice  $P$  na 2 části
- Pro každý řádek získáme dvě skupiny nových řídicích bodů – rozdělili jsme plochu na dvě plochy reprezentované maticemi  $P_L$  a  $P_R$
- Stejný postup aplikujeme na sloupce matic  $P_L$  a  $P_R$
- Výsledkem jsou 4 matice (každá obsahuje tolik bodů, kolik měla původní matice)

### Příklad

Kolik máme matic po  $n$  děleních?

# Převod ploch na síť trojúhelníků

## Patch splitting

- Po  $n$  krocích dělení dostaneme  $4^n$  ploch, které reprezentují stejnou plochu složenou z více částí
- Rohy každé matice (reprezentující řídicí síť) leží na ploše
- Pokud je (křivá) plocha dostatečně rovná, můžeme jí nahradit rovnou plochou (2 trojúhelníky jejichž vrcholy leží v rozích)
- Algoritmus můžeme skončit i po pevném počtu kroku dělení – je znám počet trojúhelníků
- I v tomto případě ale aproximujeme stejným počtem trojúhelníků rovné a více zaoblené části

### Příklad

Kolik vznikne trojúhelníků po  $n$  děleních?

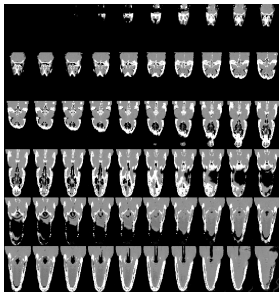
# Převod prostorových dat na síť trojúhelníků

- Zobrazení prostorových dat:
  - Nalezneme povrch – nejčastěji síť trojúhelníků (ale ne vždy)
  - Přímé zobrazení – později

# Převod prostorových dat na síť trojúhelníků

## Prostorová data

- V pravidelné mřížce, skalární hodnoty
- Metody pro hledání povrchu – musíme znát hraniční hodnotu



# Převod prostorových dat na síť trojúhelníků

Metody pro převod prostorových dat do hraniční reprezentace

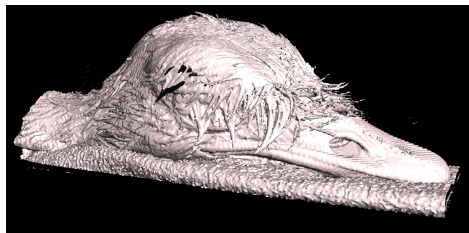
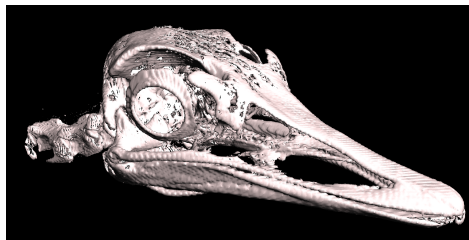
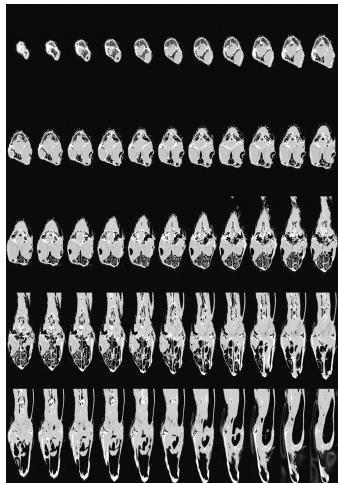
- Pochodující kostky a její varianty
- Pochodující čtyřstěny
- Dělené kostky – nevznikne síť trojúhelníků
- Opláštění kontur



# Pochodující kostky

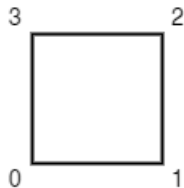
## ■ Marching Cubes

- Vstup: data v prostorové mřížce, prahová hodnota
- Výstup: síť trojúhelníků



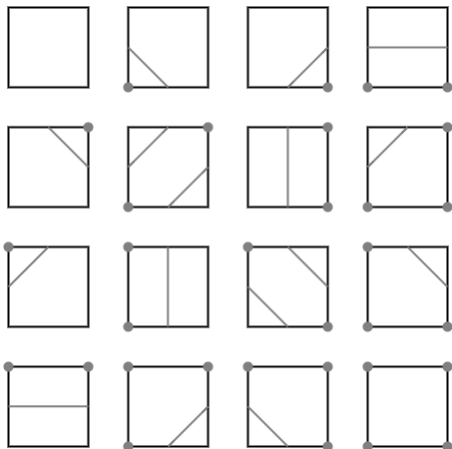
# Pochodující čtverce

- **Marching squares** – 2D varianta Pochodujících kostek
- Prahová *prah* hodnota určuje hodnotu obrysu objektu
- Mřížku (ve které jsou data) rozdělíme na čtverce – vrcholy odpovídají sousedním vzorkům v mřížce
- Vrcholy si označíme
- Ohodnotíme vrcholy
$$h_i = \begin{cases} 1 & \text{pro vnitřní bod tj. } hodnota \geq \text{prah} \\ 0 & \text{jinak} \end{cases}$$
- Vypočítáme index čtverce  $index = \sum_{i=0}^3 h_i \cdot 2^i$



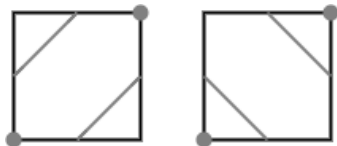
## Pochodující čtverce

- Index čtverce  $index = \sum_{i=0}^3 h_i \cdot 2^i$
- 16 možností
- V pomocné tabulce uchováváme informaci, kudy prochází hranice objektu (pokud je jeden vrchol hrany uvnitř a druhý vně, hranice bude touto hranou procházet)
- Přesná poloha bodu na hraně – střed hrany, lineární interpolace
- Jelikož poloha bodu záleží jen na hodnotách ve vrcholech – křivka bude vždy spojitá



# Pochodující čtverce

- Nejednoznačnost metody

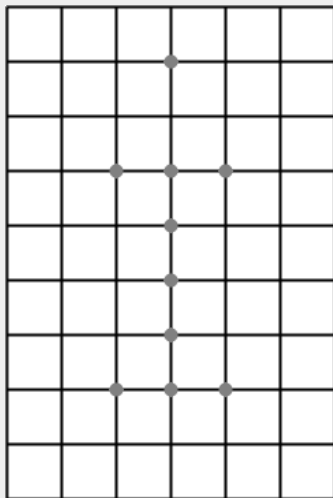


- 1. varianta = větší souvislé celky
- 2. varianta = menší objekty
- Volba záleží na aplikaci, je nutné používat jen jednu z variant

# Pochodující čtverce

## Příklad

Simulujte algoritmus pochodujících čtverců na následujícím obrázku. Šedé vrcholy jsou vnitřní. Obrys bude procházet ve středu mřížky.



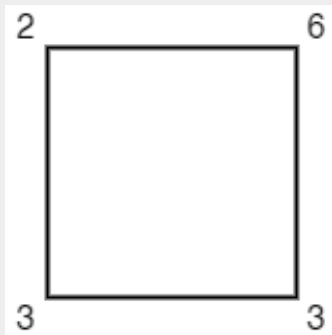
## Pochodující čtverce – Algoritmus

- **Vstup:** Dvourozměrná mřížka s indexy  $i$  a  $j$  (odpovídající krokům na ose  $x$  a  $y$ ) s rozestupem  $h$ ,  $i = 0, \dots, m - 1$ ,  $j = 0, \dots, n - 1$
- $f_{ij} = f(x_0 + ih, y_0 + jh)$ , hodnota v jednotlivých bodech mřížky
- $f_0$  hodnota, pro kterou hledáme křivku (okraj)
- Každému čtverci mřížky spočítáme jeho index a z tabulky hran zjistíme, na kterých hranách leží koncové body úseček
- Každé úsečce interpolujeme polohu krajních bodů na základě hodnot v mřížce
- Vykreslíme hrany

# Pochodující čtverce

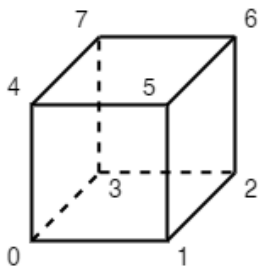
## Příklad

Lineární interpolací určete, kudy prochází křivka  $f_0 = 4$ .



## Pochodující krychle

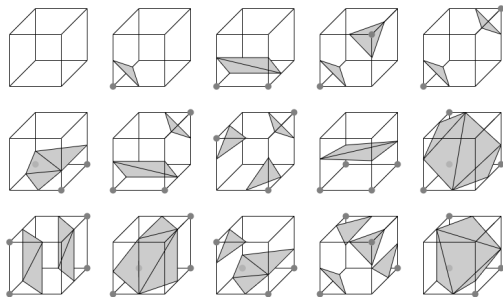
- **Marching cubes** – 3D mřížka
- Výstupem je série trojúhelníků, jejichž vrcholy leží na hranách krychlí
- Prahová *prah* hodnota určuje hodnotu hranice objektu
- Mřížku (ve které jsou data) rozdělíme na krychle – vrcholy odpovídají sousedním vzorkům v mřížce
- Vrcholy si označíme
- Ohodnotíme vrcholy
$$h_i = \begin{cases} 1 & \text{pro vnitřní bod tj. } hodnota \geq \text{prah} \\ 0 & \text{jinak} \end{cases}$$
- Vypočítáme index krychle  $index = \sum_{i=0}^7 h_i \cdot 2^i$





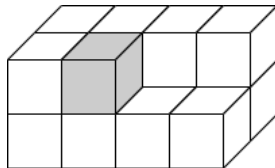
# Pochodující krychle

- Index čtverce  $index = \sum_{i=0}^7 h_i \cdot 2^i$
- 256 možností
- V pomocné tabulce uchováváme informaci, kde leží vrcholy trojúhelníků
- Přesná poloha bodu na hraně – střed hrany, lineární interpolace
- Velké množství trojúhelníků – pro každou krychli až 4



## Pochodující krychle

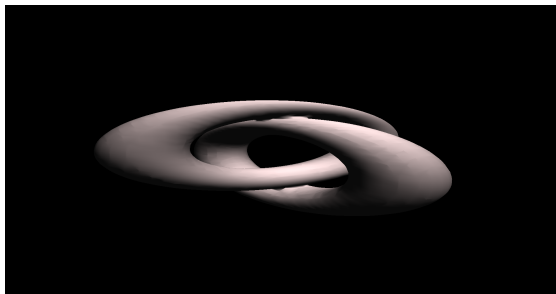
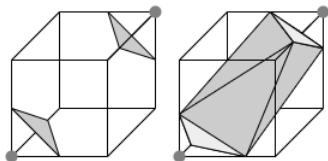
- 4 krychle mají společnou hranu, pokud na ní leží vrcholy trojúhelníků, pak jejich polohu (interpolaci) počítáme pro každou hranu znovu
- Snížení počtu výpočtů – pamatujeme si vrcholy již zpracovaných krychlí (bílé) a počítáme jen vrcholy na nezpracovaných hranách
- **Filtrování malých částí** – hledáme komponenty (ve smyslu 6 sousednosti) a ty, které jsou menší než zvolený práh do výpočtu povrchu neuvažujeme



# Pochodující krychle

## Nejednoznačnosti

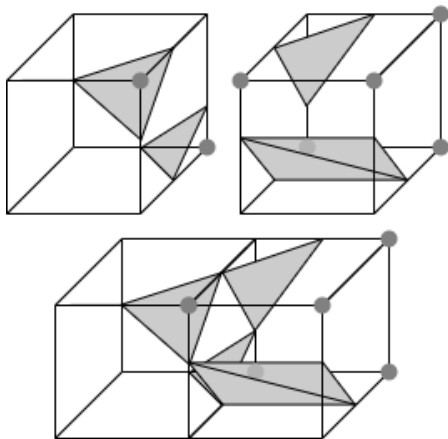
- Stejně jako u pochodujících čtverců – nejednoznačnost topologická
- Pokud zachováme jeden styl, nic se nestane



# Pochodující krychle

## Nejednoznačnosti

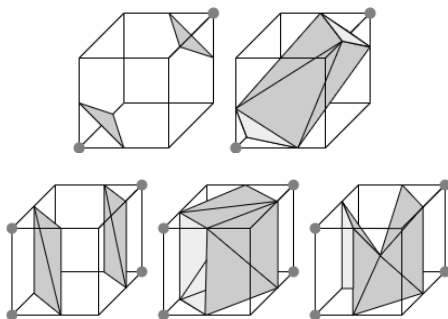
- Počítáme každou krychli zvlášť, nebereme v potaz globální pohled na těleso
- Vznikají díry



## Pochodující krychle 33

### ■ Marching cubes 33

- Místo 15 případů máme rozšířenou tabulku (33 případů)
- Některé případy mají více možností
- Kterou zvolit závisí na okolních krychlích
- Pro jednu krychli může vzniknout až 12 trojúhelníků



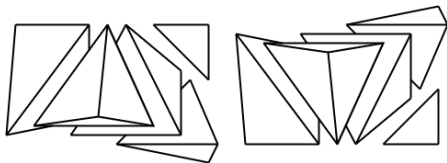
# Pochodující krychle

## Varianty

- Dual contouring
- Dual Marching cubes

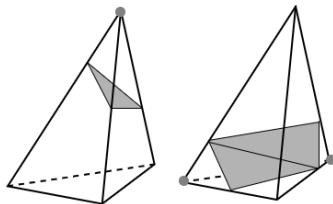
# Pochodující čtyřstěny

- **Marching tetrahedra** – 3D mřížka
- Výstupem je série trojúhelníků, jejichž vrcholy leží na hranách čtyřstěnu
- Prahová *prah* hodnota určuje hodnotu hranice objektu
- Mřížku (ve které jsou data) rozdělíme na krychle a ty dále na 5 čtyřstěnu (jejich vrcholy odpovídají vrcholům krychle)
- 2 způsoby, jak je rozdělit



## Pochodující čtyřstěny

- Dle toho, které vrcholy jsou uvnitř a které vně, mohou nastat jen 2 případy



- Problém děr se tímto vyřešil

Příklad

Kolik může v krychli vzniknout trojúhelníků?

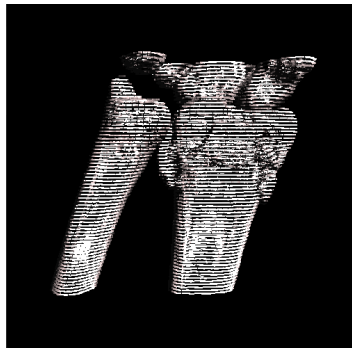


## Pochodující čtyřstěny

- Počet trojúhelníků narostl
- Je nutno střídat dělení – řešení = dělíme na 6 nebo 24 čtyřstěnů (ještě více trojúhelníků)
- V praxi se moc nepoužívá

# Dělené kostky

- **Dividing cubes**
- Rasterizace velkého množství malých plošek → pomalé
- Výstupem algoritmu jsou pouze povrchové body s normálou (pro osvětlení)
- Velikost povrchového bodu = velikost obrazového bodu
- Zrychlení vykreslování
- Nevýhoda – nemáme informaci, ke které ploše bod patří, nemožnost přiblížení tělesa
- Pokud je bod menší než zobrazovací bod – díry
- Obdobně dobrá kvalita, jako pochodující kostky, nevykresluje nezobrazitelné detaily
- Velký počet bodů



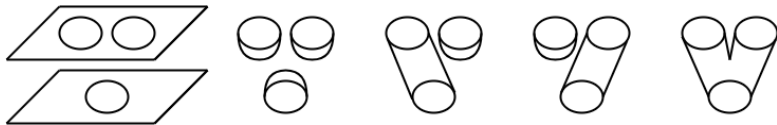
# Dělené kostky

## Algoritmus

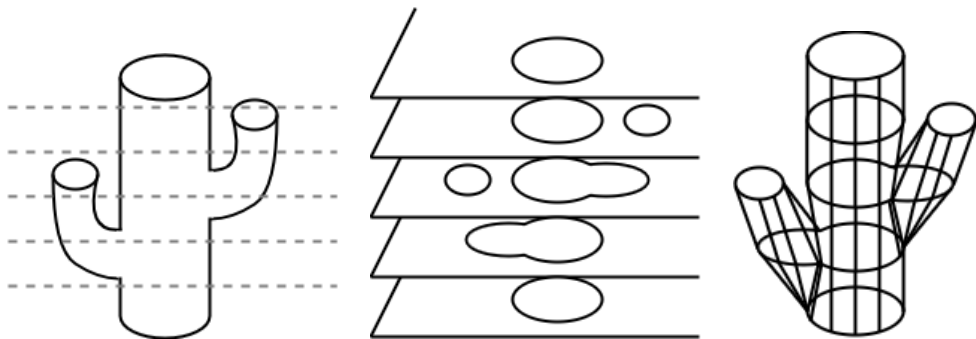
- **Vstup:** Data v 3D mřížce a prahová hodnota
- Do paměti načteme 4 sousedící řezy
- Vytvoříme krychli, kterou tvoří 8 bodů dvou sousedních řezů
- Ve všech vrcholech spočítáme vektor gradientu (jednotlivé složky spočítáme jako rozdíl mezi předchozím a následujícím sousedem ve směru každé osy)
- Ohodnotíme každou krychli:
  - vnitřní – intenzita všech vrcholů je větší rovna prahové hodnotě
  - vnější – intenzita všech vrcholů je menší než prahová hodnota
  - protíná povrch tělesa
- Hraniční krychle rozdělíme na  $a \times b \times c$  subkrychlí, které jsou velké jako zobrazovací bod
- Hodnotu každého vrcholu nových subkrychlí vypočítáme lineární interpolací
- Najdeme subkrychle, které leží na hranici tělesa, interpolujeme pro ně gradient
- Vykreslíme

## Opláštění kontur

- Těleso chápeme jako kolekci kontur (jeho hranic) v několika řezech
- Z objemových dat nejprve vypočítáme kontury tělesa (řezy jsou kolmé na jeden rozměr)
- Kontury pak propojujeme
- Největší problém – jak k sobě přiřadit kontury
- Propojení aproximujeme sítí trojúhelníků
- Jelikož nemáme informaci mezi řezy – pouze odhadujeme tvar tělesa

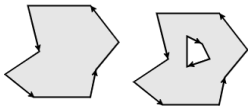


## Opláštění kontur



# Opláštění kontur

- **Data** = série snímků
- **Sada řezů** = množina řezů  $S$ , každý řez se skládá z množiny kontur
- **Kontury:**
  - odpovídají průniku hranice tělesa a roviny řezu
  - je to orientovaný jednoduchý uzavřený polygon  $c_i = p_1, \dots, p_n$ ,  $i$  je index kontury v rámci řezu,  $p_k$  vrcholy polygonu
  - kontury se v rámci řezu neprotínají
  - 2 typy – vnější kontura a díra



- vnější kontury jsou orientovány proti a díry po směru hodinových ručiček

# Opláštění kontur

## Výpočet řezu

- hledání průniku
- sestavení kontur
- nastavení orientace

## Hledání průniku

- Například pomocí Marching squares
- Výsledkem je série úseček, které nenesou informaci o tom, ke které kontuře patří

# Opláštění kontur

## Sestavení kontur

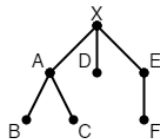
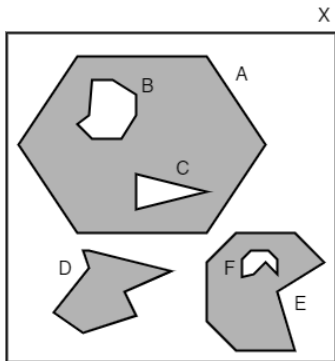
- Máme množinu úseček  $s = s_1, \dots, s_n$ , ze kterých chceme sestavit kontury
- Konturu sestavíme tak, že z množiny  $s$  přidáváme úsečky (a zároveň se z množiny  $s$  odstraňujeme)
- Úsečku přidáme k mnohoúhelníku, který právě vytváříme, pokud některý její krajní bod inciduje s jedním ze dvou stávajících krajních bodů polygonu
- Pokud už nemůžeme další úsečku přidat a  $s$  není prázdná, začneme sestavovat další konturu



# Opláštění kontur

## Nastavení orientace kontur

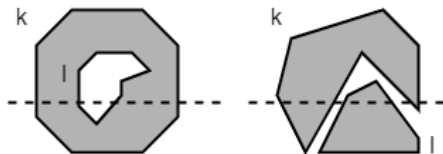
- Vyžaduje znalost hierarchie kontur v rámci řezu
- Po sestavení kontur nevíme, zda se jedná o vnější konturu nebo díru
- Vytváříme **strom vnoření**



# Opláštění kontur

## Nastavení orientace kontur

- Je nutno nejprve určit, zda se jedná o vnější konturu nebo o díru
- Kontura je dírou, leží-li uvnitř jiné kontury
- Využijeme principu **ray crossingu**
- Najdeme nejlevější průnik přímky  $q$  s konturou  $l$  ( $P_l$ ) a pak hledáme počet průsečíků s konturou  $k$  nalevo od  $P_l$



- $l$  je uvnitř  $k$ , pokud je počet průsečíků lichý

## Opláštění kontur

- **Vstup:** množina kontur
- Ve své podstatě se jedná o hledání plochy spojující dvě křivky – tu aproximujeme trojúhelníky
- **Konstrukce pláště** (není to triviální úloha) – Objemové metody, Povrchové metody

### Objemové metody

- Vzdálenost mezi řezy je shodná s hustotou vzorků (vzorky jsou chápány jako prostorová data)
- Pro výpočet se používají dříve zmíněné metody (např. Marching cubes)
- Čím jsou od sebe kontury (řezy) vzdálenější, tím více tyto metody selhávají

### Povrchové metody

- Korespondující kontury spojují pásem trojúhelníků
- Klíčový problém – nalezení korespondujících kontur
- Více možností, záleží na datech (jiné přístupy se hodí pro stromové struktury, jiné pro menší kruhovitě)

# Opláštění kontur

Korespondence kontur – heuristiky

## Plocha překrytí kontur

- Nejjednodušší a nejčastěji používaná
- Kontury spolu korespondují, pokud se při promítnutí do jedné roviny překrývají dostatečně velkou plochou
- Pokud nejsou řezy dostatečně husté – dochází k rozpadání na menší objekty

### Příklad

Jak by mohla vypadat například definice „překrývání dostatečně velkou plochou“?

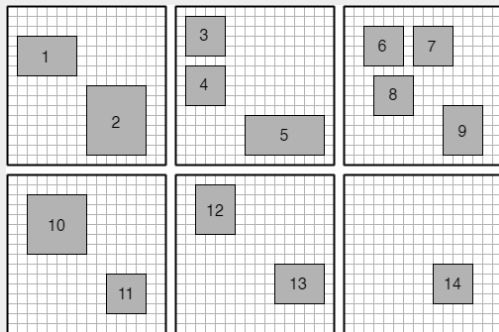
# Opláštění kontur

Korespondence kontur – heuristiky

## Plocha překrytí kontur

### Příklad

Předpokládejme, že kontury spolu korespondují, pokud se překrývají alespoň 75% plochy menší z kontur. Určete, které kontury z následujícího obrázku spolu korespondují.



Na obrázku jsou kontury z 6 řezů.

# Opláštění kontur

Korespondence kontur – heuristiky

## Zobecněné válce

- Pokud má těleso stromovou strukturu kruhového, či oválného tvaru, předchozí přístup není vhodný
- Tato metoda používá globálnější pohled na těleso (jeho strukturu)
- Válce tvoří řezy ve tvaru elips jejichž středy leží přibližně na přímce (odchylují se o méně, než je zadaná chyba)

# Opláštění kontur

Korespondence kontur – heuristiky

## Strom minimálního pokrytí grafu kontur

- Předchozí metoda může vést k nechtěné propagaci chyby při větším vychýlení prvních dvou kontur
- Tato metoda pracuje ještě globálněji
- Nejprve sestavíme graf možných spojnic kontur tak, aby každé kontuře odpovídal jeden uzel každé možné spojnici (každá možná dvojice sousedních kontur) jedna hrana
- Tyto hrany jsou ohodnoceny podle vzdálenosti kontur
- Poté hledáme strom minimálního pokrytí (minimální kostru)
- Lepší výsledky, než předchozí heuristiky
- Může propojovat objekty, které jsou blízko sebe
- Nevhodné pro tělesa s cykly

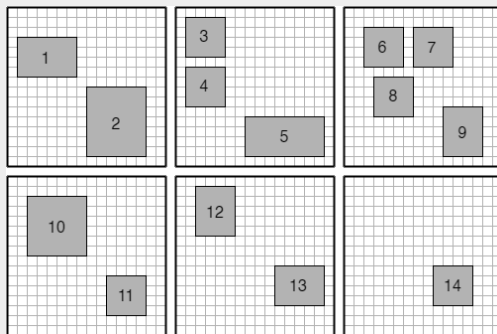
# Opláštění kontur

Korespondence kontur – heuristiky

## Strom minimálního pokrytí grafu kontur

### Příklad

Dle metody minimálního pokrytí grafu spočítejte, které kontury spolu korespondují. Jako vzdálenost počítejme vzdálenost středů kontury.





# Opláštění kontur

## Propojení kontur

- Máme spočítanou vzájemnou korespondenci kontur
- Chceme kontury propojit – vytvořit síť trojúhelníků z jejich bodů
- Hledáme trojúhelníky, které opláští celou konturu a vzájemně se nepřekrývají
- Problém nastává u větvení kontur a jejich propojování (symetrické problémy)
- Celá řada metod, některé umožňují jen propojení 1:1 (nepovolují větvení)

# Opláštění kontur

Propojení kontur – heuristiky

## Toroidní graf

- Využívá teorii grafů
- Uzly grafu odpovídají všem možným úsečkám propojující sousední kontury
- Trojúhelníky = dvojice úseček se společným vrcholem
- Hledáme cyklus s nejmenší cenou
- Grafové algoritmy dávají optimální výsledky, ale jsou výpočetně náročné
- Využíváme spíše heuristiky, které nezohledňují celý plášť, ale pracují lokálně

# Opláštění kontur

Propojení kontur – heuristiky

## Minimální povrch

- Nejjednodušší
- Počítáme obsah trojúhelníků
- Nehodí se v případě, že jsou kontury vůči sobě posunuty

## Směr přiřazení

- Preferuje ty spojnice, jejichž směr se moc neliší od směrnice těžišť kontur

## Maximální objem

- Objem klínu, který tvoří trojúhelníková záplata a spojnice těžišť kontur

## Minimální délka spoje

- Délka úsečky, která spojuje sousední kontury

# Opláštění kontur

Korespondence kontur – heuristiky

## Příklad

Najděte propojení kontur 1 a 3 (bez větvení) z předchozího příkladu. Pro výběr trojúhelníku použijte kritéria:

- minimální povrch,
- směr přiřazení.

